

NGHIÊN CỨU ẢNH HƯỞNG CỦA BÃI THẢI BỀ MẶT MỎ ĐẾN TRẠNG THÁI LÀM VIỆC CỦA VỎ CHỐNG GIẾNG ĐỨNG TẠI CÁC MỎ HẦM LÒ VIỆT NAM

**VÕ TRỌNG HÙNG, ĐẶNG VĂN KIÊN
 ĐỖ NGỌC ANH, NGUYỄN DUYÊN PHONG
Trường Đại học Mỏ-Địa chất
 KHUẤT MẠNH THẮNG
Tập đoàn Công nghiệp Than-Khoáng sản Việt Nam
 Email: kienxdn@gmail.com**

Trong thời gian qua, nhiều mỏ tại vùng Quảng Ninh đã tiến hành xây dựng giếng đứng để phục vụ cho việc khai thác khoáng sản ở mức sâu. Tại đây, vỏ chống cố định bê tông cốt thép liền khối được sử dụng tại hầu hết các giếng đứng. Do công tác quy hoạch chưa đồng bộ và một vài lý do khác dẫn đến việc một số giếng đứng đặt gần khu bãi thải của mỏ (Hà Lâm), hoặc đào qua tầng đất đá thải (Núi Béo)... Vì vậy, các bãi thải bố trí gần miệng giếng trong quá trình đổ thải sẽ có tác động nhất định đến mức độ ổn định của vỏ chống giếng đứng. Tuy nhiên, vấn đề này ở Việt Nam hầu như chưa được chú ý. Các kết quả nghiên cứu của thế giới đạt được theo hướng này cũng không nhiều. Giếng đứng là công trình mỏ vỉa chính của mỏ, có vai trò quan trọng trong khai thác, có tuổi thọ nhiều chục năm, đôi khi đến hàng trăm năm. Do đó, việc nghiên cứu sự ảnh hưởng của các công trình bờ mặt, bãi thải trên mặt đất đến độ ổn định của vỏ chống giếng đứng là vấn đề hết sức quan trọng. Bài báo đưa ra một số định hướng nghiên cứu và kết quả khảo sát bước đầu trong việc đánh giá ảnh hưởng bãi thải đến độ ổn định của kết cấu chống giữ giếng đứng. Kết quả nghiên cứu sơ bộ đạt được thông qua việc sử dụng phương pháp giải tích và phương pháp phần tử hữu hạn bằng phần mềm Abaqus [1]. Các kết quả nghiên cứu có thể tạo ra cơ sở lý thuyết ban đầu để tiếp tục nghiên cứu các giải pháp về quy hoạch, thiết kế và những lưu ý trong thi công nhằm giảm thiểu ảnh hưởng cho vỏ chống giếng đứng của mỏ.

1. Tổng quan

Đất đá bãi thải vùng than Quảng Ninh chủ yếu là

các loại đá trầm tích ở vách trụ các vỉa than đã nổ mìn, xúc bốc, vận chuyển từ các moong khai thác lô thiên và các mỏ hầm lò đến bãi thải. Thành phần đất đá chủ yếu bao gồm các loại mảnh, cục đất đá vỡ vụn của cát kết, cuội kết, bột kết, sét kết, sét than và đất phủ đệ tứ. Thành phần cỡ hạt của đất đá cũng rất khác nhau, có kích thước từ 0,1 mm đến 1000 mm (Bảng 1) [2], [3]. Đất đá kích thước nhỏ tập trung phía trên. Do có, động năng lớn hơn, đất đá có kích thước lớn lăn xa, phân bố phía chân bãi thải. Giá trị một số thông số cơ lý của đất đá thải thể hiện trong Bảng 2 [2], [3].

Bảng 1. Thành phần cỡ hạt và tỉ lệ trong đất đá bãi thải

Thành phần cỡ hạt đất đá bãi thải	<50 mm	50-80 mm	>80 mm
Tỉ lệ %	10	80	10

Bảng 2. Một số chỉ số cơ lý đất đá bãi thải vùng than Quảng Ninh

Độ rỗng η , %	Tỉ trọng γ , T/m^3	Tỉ trọng bão hòa γ_{bh} , T/m^3	Lực dính kết C, T/m^2	Góc ma sát trong φ , độ
21	2,1	2,26	2,0	30

Khi các giếng đứng bố trí gần bãi thải thì ngoài áp lực đất đá nằm ngang xung quanh thành giếng, vỏ giếng còn chịu áp lực của các công trình bờ mặt do tự trọng bãi thải và các hoạt động đổ thải và đây chính là tác nhân gây ảnh hưởng lớn đến độ ổn định của thành giếng và vỏ chống cố định giếng đứng. Tuy vậy, trên thế giới các kết quả nghiên

cứu về ảnh hưởng của bãi thải đến vỏ chống giếng đứng là không nhiều. Đối với Việt Nam, sau khi hai giếng đầu tiên của mỏ Mông Dương được Pháp khởi công xây dựng vào năm 1934 và được Liên Xô khôi phục xây dựng lại vào những năm 1955-1960, phải mãi đến năm 2009, giếng mỏ mới được xây dựng tại mỏ than Hà Lầm [4]. Điều đó làm cho công tác nghiên cứu khoa học theo hướng này ít được thực hiện trong khi yêu cầu về an toàn ổn định cho vỏ chống giếng đứng luôn được đặt ra nhằm bảo đảm sự vận hành bình thường của giếng trong suốt quá trình khai thác mỏ.

2. Một số vấn đề nghiên cứu

Giếng đứng là công trình mở vỉa có thời gian tồn tại lớn (hàng trăm năm), cho nên kết cấu vỏ chống đòi hỏi có độ bền lớn, tuổi thọ cao như bê tông liền khối hoặc bê tông cốt thép liền khối. Vỏ chống giếng đứng thường chịu ảnh hưởng của áp lực đất đá xung quanh, nước dưới đất, các công trình, máy, thiết bị bề mặt (đoàn tàu, ô tô, bãi thải, nhà xưởng,...).

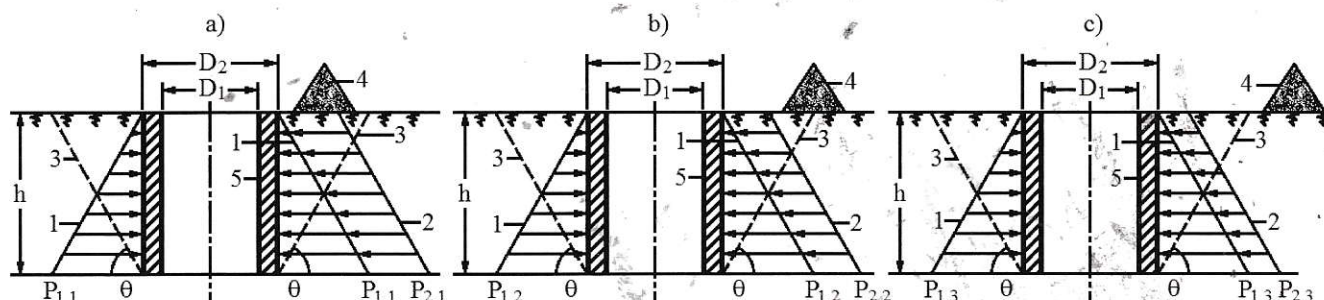
Bãi thải tại mỏ có thể là bãi thải trong thời gian xây dựng giếng đứng và bãi thải của toàn bộ khu

mỏ. Vị trí đặt bãi thải có ảnh hưởng trực tiếp đến mức độ ổn định của kết cấu chống cổ giếng và vỏ chống bê tông liền khối của giếng đứng. Vị trí của bãi thải so với vị trí của giếng đứng có thể thay đổi rất khác nhau tùy theo điều kiện xây dựng giếng đứng, đặc tính quy hoạch đỗ thải trong quá trình xây dựng mỏ, xây dựng giếng đứng, đặc tính quy hoạch đỗ thải của mỏ, khu mỏ trong quá trình khai thác khoáng sản. Trên thực tế có thể xảy ra một số trường hợp sau đây:

➤ Bãi thải tạm thời bố trí gần mép cổ giếng (bãi thải tạm thời khi xây dựng giếng mỏ) và nằm trọn vẹn trong khu vực hình thành khối lăng trụ trượt phía trên cổ giếng đứng theo giả thuyết tường chắn đất (H.1.a);

➤ Bãi thải có một phần trong khu vực hình thành khối lăng trụ trượt phía trên cổ giếng đứng theo giả thuyết tường chắn đất và một phần nằm ngoài khu vực hình thành khối lăng trụ trượt phía trên cổ giếng đứng theo giả thuyết tường chắn đất (H.1.b);

➤ Bãi thải nằm ngoài khu vực hình thành khối lăng trụ trượt phía trên cổ giếng đứng theo giả thuyết tường chắn đất (H.1.c).



H.1. Sơ đồ nghiên cứu tác động của vị trí bãi thải đến kết cấu chống giữ giếng đứng: a - Vị trí bãi thải nằm phía trong khu vực hình thành khối lăng trụ trượt phía trên cổ giếng đứng; b - Vị trí bãi thải nằm một phần phía trong và một phần phía ngoài khu vực hình thành khối lăng trụ trượt phía trên cổ giếng đứng; c - Vị trí bãi thải nằm phía ngoài khu vực hình thành khối lăng trụ trượt phía trên cổ giếng đứng; 1 - Biểu đồ áp lực khối đất đá đồng nhất, đẳng hướng tác dụng lên kết cấu cổ giếng đứng; 2 - Biểu đồ áp lực mới sinh thêm do sự tác động của khối bãi thải nằm phía trong (H.1.a), nằm một phần phía trong (H.1.b), nằm hoàn toàn phía ngoài (H.1.c) khu vực hình thành khối lăng trụ trượt phía trên cổ giếng đứng; 3 - Khối lăng trụ trượt phía trên cổ giếng đứng; 4 - Khối bãi thải; 5 - Kết cấu chống giữ giếng đứng; $\theta = (45^\circ - \varphi/2)$; φ - Góc ma sát trong của đất đá; h - Chiều sâu phần kết cấu chống giữ giếng đứng xem xét; D_1, D_2 - Tương ứng là đường kính sử dụng phía trong và phía ngoài của kết cấu chống giữ giếng đứng

Trong cùng những điều kiện đất đá, các mối quan hệ giữa các đại lượng áp lực hình thành do đất đá bao quanh và sự tác động của bãi thải cho các trường hợp có vị trí tương hỗ khác nhau so với vị trí của kích thước biên giới của vùng cấu thành khối lăng trụ trượt trên mặt đất có dạng như sau:

$$P_{1.1} = P_{1.2} = P_{1.3}. \quad (1)$$

$$P_{2.1} > P_{2.2} > P_{2.3}. \quad (2)$$

Tại đây: $P_{1.1}, P_{1.2}, P_{1.3}$ - Giá trị đại lượng áp lực tác dụng có nguồn gốc từ trọng trường của khối đất đá bao quanh kết cấu chống giữ giếng đứng tương ứng cho các trường hợp H.1.a, H.1.b, H.1.c; $P_{2.1}, P_{2.2}, P_{2.3}$ - Giá trị đại lượng áp lực tác dụng mới sinh thêm do sự tác động của khối bãi thải nằm trên giếng đứng tương ứng cho các trường hợp H.1.a, H.1.b, H.1.c.

Như vậy, từ (1) và (2) có thể dự báo:

$$\begin{aligned} P_1 &= (P_{1,1} + P_{2,1}); P_2 = (P_{1,2} + P_{2,2}); P_3 = (P_{1,3} + P_{2,3}); \\ P_1 &> P_2 > P_3. \end{aligned} \quad (3)$$

Tại đây: P_1, P_2, P_3 - Giá trị đại lượng áp lực tổ hợp tác dụng lên kết cấu chống giữ giềng đứng trong khu vực có sự tồn tại của khối bã thi thể phía trên mặt đất.

Các mối quan hệ (1), (2) (3) mới chỉ mang tính định tính, dự báo gần đúng, chưa thể sử dụng để tính toán độ bền và dự báo mức độ ổn định của kết cấu chống giữ giềng đứng.

Để xác định mức độ ổn định và tính toán kết cấu chống giữ của cỗ và thân giềng đứng, cần tập trung nghiên cứu một số vấn đề chính sau đây:

➤ Sự ảnh hưởng của đặc tính cấu tạo, cấu trúc của khối đất đá bao quanh kết cấu chống giữ của cỗ và thân giềng đứng;

➤ Sự ảnh hưởng của đặc tính nước dưới đất, khí ngầm đến kết cấu chống giữ của cỗ và thân giềng đứng;

➤ Sự ảnh hưởng của đặc điểm cấu tạo hình học, kích thước của cỗ và thân giềng đứng;

➤ Sự ảnh hưởng của đặc điểm cấu tạo, tính chất của vật liệu, kết cấu của cỗ giềng và thân giềng đứng;

➤ Sự ảnh hưởng của đặc điểm hoạt động, cấu tạo của các công trình xây dựng cố định, tạm thời, bã thi thể,... trên mặt đất;

➤ Sự ảnh hưởng của đặc điểm vận hành của các máy, thiết bị,... thi công, khai thác vận hành trên mặt đất;

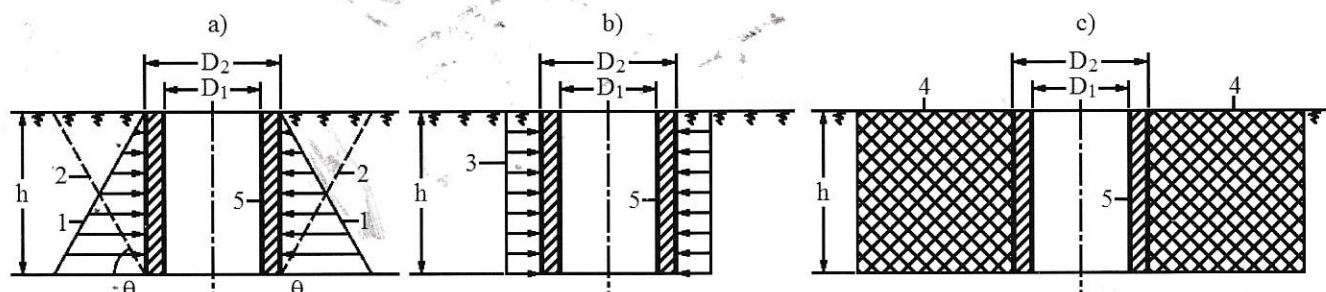
➤ Sự ảnh hưởng của đặc điểm vận hành của các máy, thiết bị,... thi công, khai thác vận hành phía trong giềng đứng;

➤ Sự ảnh hưởng của công tác thi công phía trong giềng đứng;...

Như vậy, mức độ ổn định của kết cấu chống giữ của cỗ và thân giềng đứng phụ thuộc vào rất nhiều yếu tố khác nhau. Đây là bài toán nghiên cứu đa biến, phức tạp, phụ thuộc vào các yếu tố không gian, thời gian khác nhau, tương tác với nhau và chịu sự ảnh hưởng lẫn nhau.

Việc nghiên cứu ảnh hưởng của bã thi thể đến độ ổn định của vỏ chống và thành giềng đứng có thể được tiến hành bằng phương pháp giải tích, phương pháp mô hình vật lý tương đương và phương pháp số. Trong giai đoạn đầu tiên chúng tôi chọn phương pháp giải tích và phương pháp số để nghiên cứu. Đây là những phương pháp hiện đại đang được sử dụng nhiều và có độ tin cậy cao.

Trên hình H.2 giới thiệu một số khảo sát, tính toán kết cấu chống giữ giềng đứng: sơ đồ tính với giả thuyết khối đất đá bao quanh đồng nhất đẳng hướng có hình thành khối lăng trụ trượt (H.2.a); sơ đồ tính toán theo bài toán Lame (H.2.b); sơ đồ mô hình tính toán bằng phương pháp mô phỏng số (H.2.c).



H.2. Một số sơ đồ khảo sát, tính toán kết cấu chống giữ giềng đứng: a - Sơ đồ tính với giả thuyết khối đất đá bao quanh đồng nhất đẳng hướng có hình thành khối lăng trụ trượt; b - Sơ đồ tính toán theo bài toán Lame; c - Sơ đồ mô hình hóa bằng phương pháp mô phỏng số; 1 - Biểu đồ áp lực khói đất đá đồng nhất, đẳng hướng tác dụng lên kết cấu cỗ giềng đứng; 2 - Khối lăng trụ trượt phia trên cỗ giềng đứng; 3 - Đại lượng áp lực phân bố đều tác dụng lên kết cấu chống giữ giềng đứng; 4 - Khu vực mô hình hóa bằng phương pháp số vùng khói đất đá tác dụng trực tiếp lên kết cấu chống giữ giềng đứng; 5 - Kết cấu chống giữ giềng đứng.

3. Một số kết quả nghiên cứu bằng phương pháp giải tích

Cường độ áp lực đất tác dụng lên thành kết cấu chống giữ giềng đứng trong trường hợp cỗ giềng nằm nông và đào qua các lớp đất đá có tính chất cơ lý gần giống nhau được tính toán theo công

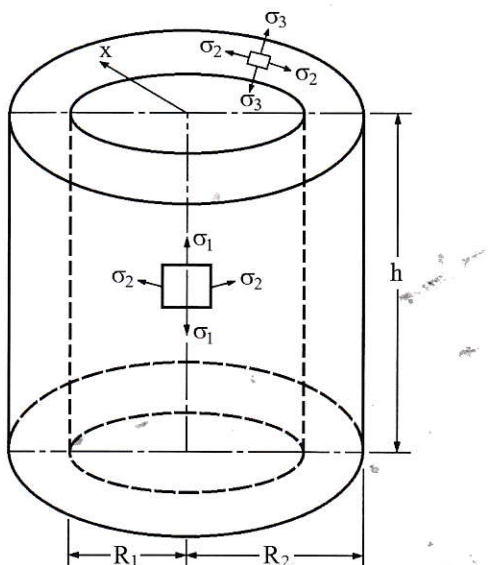
thức của Protodiakonov M.N. [5]:

$$P_i = \{\gamma_i \cdot h_i \cdot \operatorname{tg}^2[45^\circ - (\varphi_i/2)]\}. \quad (4)$$

Trong đó: γ_i - Trọng lượng thể tích của các lớp đất, đá lắp đặt cỗ giềng, T/m^3 ; h_i - Chiều cao của các lớp đất, đá lắp đặt cỗ giềng, m; φ_i - Góc ma sát trong lớp đất đặt cỗ giềng, độ.

Phương pháp trên đây rất hạn chế vì đây là trường hợp lý tưởng hóa điều kiện tính toán ở mức độ lý tưởng. Vì vậy giải pháp này chỉ mang tính tham khảo, rất khó sử dụng hợp lý trên thực tế.

Dưới tác dụng của áp lực ngang phân bố đều "P", tự trọng của vỏ chống và nhiều yếu tố khác (ví dụ sự ảnh hưởng của các công trình trên bề mặt,...). Trong trường hợp chỉ xét riêng áp lực ngang phân bố đều "P", không xem xét các yếu tố tự trọng của vỏ chống và nhiều yếu tố khác (ví dụ sự ảnh hưởng của các công trình trên bề mặt,...), bài toán tính kết cấu chống giữ giềng đứng có thể sử dụng kết quả nghiên cứu của bài toán Lame [6], [7].



H.3. Sơ đồ phân bố các thành phần ứng suất σ_1 , σ_2 , σ_3 trong vỏ chống giềng đứng theo bài toán Lame [4]

Khi đó, trong vỏ chống xuất hiện trạng thái ứng suất ba chiều: ứng suất nén hướng tâm σ_3 (còn gọi là ứng suất hướng kính); ứng suất tiếp tuyến σ_2 (còn gọi là ứng suất vòng theo chu vi), tác dụng vuông góc với ứng suất hướng tâm; ứng suất thẳng đứng σ_1 tác dụng song song với trục giềng (H.3). Đây là một trường hợp của bài toán Lame đã giải từ năm 1852. Độ lớn của các ứng suất σ_1 , σ_2 , σ_3 được tính theo các công thức [6]:

$$\begin{aligned} \sigma_1 &= \frac{R_2^2 \cdot P}{R_2^2 - R_1^2}; \quad \sigma_2 = \left(\frac{R_2^2 \cdot P}{R_2^2 - R_1^2} \right) \cdot \left(1 + \frac{R_1^2}{x^2} \right); \\ \sigma_3 &= \left(\frac{R_2^2 \cdot P}{R_2^2 - R_1^2} \right) \cdot \left(1 - \frac{R_1^2}{x^2} \right). \end{aligned} \quad (5)$$

Trong đó: P - Áp lực ngang phân bố đều; R_1 , R_2 - Bán kính trong, bán kính ngoài của vỏ giềng; x - Khoảng cách từ tâm giềng đến điểm đang xét của vỏ.

Lời giải của bài toán Lame áp dụng trong trường

hợp này có rất nhiều khiếm khuyết. Tuy nhiên, đây là lời giải giải tích lý thuyết kinh điển, vì thế có thể sử dụng chúng để so sánh với các lời giải khác trên thực tế nhằm đánh giá mức độ chính xác của các lời giải khác cho cùng một lớp bài toán.

4. Nghiên cứu sự ảnh hưởng của bãy thải bờ mặt đến mức độ ổn định của vỏ chống giềng đứng thông qua mô hình số

Từ những kết quả nghiên cứu sơ bộ trên đây, để nghiên cứu sự ảnh hưởng của bãy thải bờ mặt đến mức độ ổn định của vỏ chống giềng đứng, theo chúng tôi, nên sử dụng phương pháp mô phỏng số thông qua các mô hình số mô phỏng cho các bài toán nghiên cứu cụ thể khác nhau.

4.1. Xây dựng mô hình số

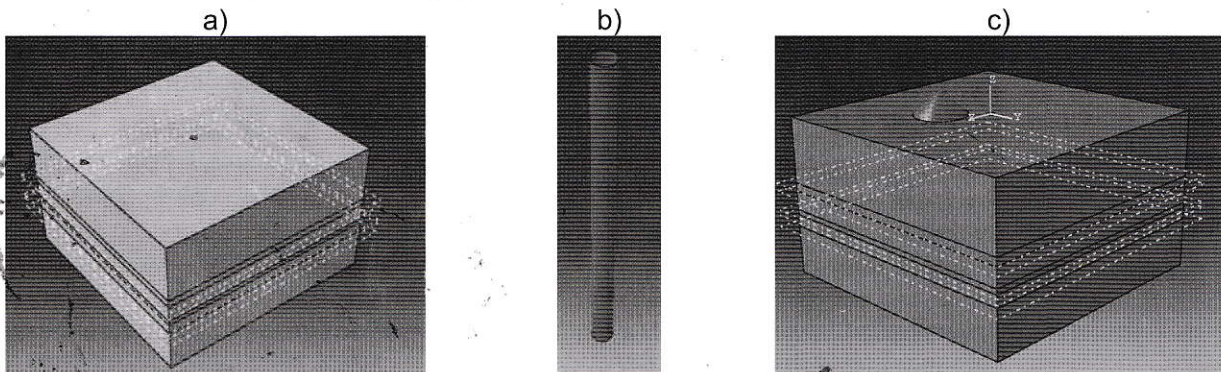
Để phân tích rõ hơn ảnh hưởng của bãy thải bờ mặt đến độ ổn định của vỏ chống giềng đứng nhóm nghiên cứu sử dụng phương pháp phần tử hữu hạn thông qua phần mềm Abaqus. Abaqus là phần mềm mạnh mẽ được sử dụng trong nhiều lĩnh vực kỹ thuật khác nhau đặc biệt là trong việc giải quyết các bài toán địa kỹ thuật [1]. Kết cấu của mô hình số được xây dựng sử dụng cho nghiên cứu chia thành các khối phần tử mô hình khác nhau gồm 3 phần riêng biệt là khối đất đá xung quanh vỏ giềng, vỏ giềng bằng bê tông và bãy thải bờ mặt (H.4). Kích thước mô hình lớn gấp 5 lần chiều sâu giềng để mô tả chính xác vùng ảnh hưởng. Mô hình đất đá có bề rộng tùy theo bán kính và chiều sâu thành giềng. Đất đá mô phỏng hình học với chiều dài×chiều rộng×chiều cao là 200×200120 m. Giềng có bán kính 2,7 m (tính cả phần diện tích đào, tác giả bỏ phần bê tông phun với mô hình nghiên cứu đơn giản), với bề dày thành giềng không đổi. Thành giềng bê tông liền khối chọn dày 0,2 m được mô phỏng dạng vỏ (shell), có độ sâu là 83,3 m.

4.2. Thông số và mô hình vật liệu

Mô hình được khảo sát với 6 lớp đất đá nằm ngang nhau có đặc tính cơ lý được thể hiện trên Bảng 3. Mô hình gồm 5 thông số cơ bản: module đàn hồi (E), hệ số Poisson (v), lực dính của đất C, góc ma sát trong (ϕ) và góc nở của đất (ψ). Vỏ chống giềng đứng là bê tông liền khối M300. Do các lớp đất đá bờ mặt thuộc loại mềm yếu nên vật liệu làm việc tuân theo mô hình phá hủy Mohr-Coulomb.

4.3. Tương tác và điều kiện biên của mô hình

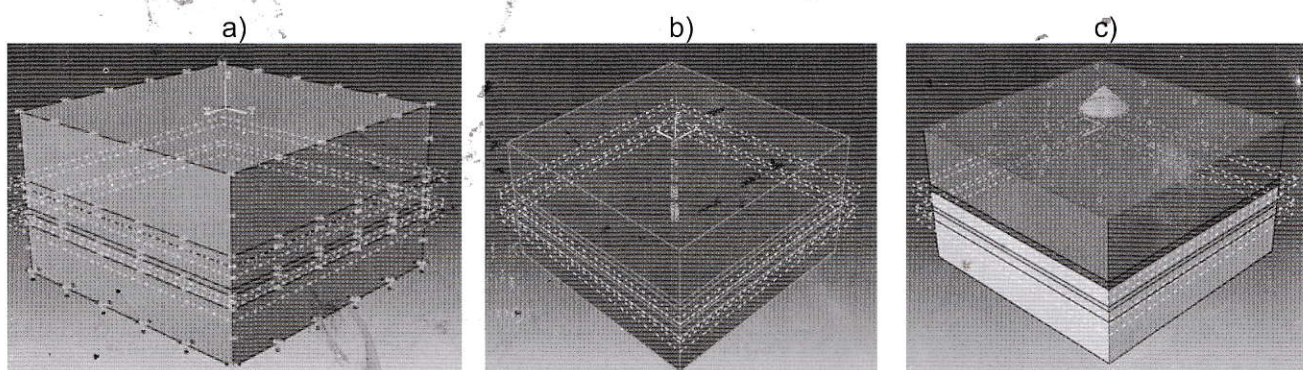
Mô hình tương tác đất đá-vỏ giềng được xác định sử dụng bước nghiên cứu địa tĩnh ban đầu, để xác định trọng lực, và ứng suất nguyên sinh trong đất đá. Điều kiện biên mô hình ở các cạnh biên sử dụng gối cố định theo phương ngang (x, y), biên bờ mặt được giả sử là bờ mặt đất đá để dạng biên tự do, biên đáy mô hình giả sử là cố định ngầm các hướng (x, y, z) như H.5.



H.4. Kết cấu mô hình số: a - Khối đá xung quanh thành giếng; b - Vỏ chống giếng đứng; c - Khối đất đá và bã thải hình chopy

Bảng 3. Chỉ tiêu cơ lý của đất đá giếng đào qua

Chủng loại đá	Các chỉ tiêu cơ lý				
	ρ , g/cm ³	C, MPa	φ , độ	E, GPa	v
Đá thải (Lớp đất đá 1)	2,1	0,02	30	3,00	0,250
Bột kết (Lớp đất đá 2)	2,6	5,00	35	3,60	0,213
Bột kết (Lớp đất đá 3)	2,6	16,90	36	5,00	0,206
Sét kết (Lớp đất đá 4)	2,6	2,90	31	2,40	0,240
Than (Lớp đất đá 5)	1,5	0,50	30	0,91	0,250
Bột kết-(Lớp đất đá 6)	2,6	16,90	36	5,00	0,206



H.5. Biểu diễn điều kiện biên mô hình: a - Điều kiện biên dạng ngầm bao quanh mô hình; b - Liên kết giữa đất đá và vỏ chống giếng đứng; c - Mô hình bã thải gần miệng giếng

Bảng 4. Chỉ tiêu cơ lý bê tông vỏ giếng làm từ bê tông M300

Bê tông	Các chỉ tiêu cơ lý								
	σ_c , MPa	σ_t , MPa	ρ , g/cm ³	C, MPa	φ (độ)	E, GPa	v	K, GPa	G, MPa
M300	30	0,8	2,40	0,61	35	30	0,25	18,7	11.6

4.4. Phần tử sử dụng cho mô hình

Trong mô hình khối đá được mô phỏng nhờ phần tử

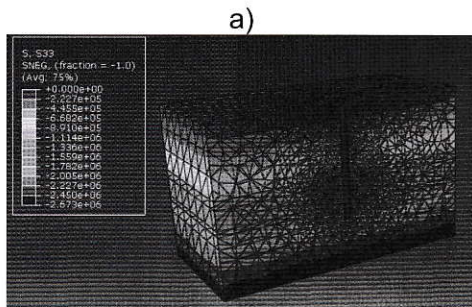
dạng tứ diện tuyến tính, vỏ chống giếng đứng được lựa chọn là phần tử vỏ tam giác với đặc tính ở Bảng 5.

Bảng 5. Đặc tính các loại phần tử sử dụng trong mô hình

Chủng loại phần tử	Tên phần tử	Số nút	Loại hình
Phần tử rắn (đất đá)	C3D4	4 nút - Tứ diện tuyến tính	3D Stress
Phần tử vỏ (giếng)	S3	3 nút - Vỏ tam giác	Vỏ

4.5. Kiểm chứng mô hình giếng đứng trong trường hợp chưa có bãi thải

Khi chưa có bãi thải phía trên miệng giếng, vỏ chống giếng đứng chỉ chịu ảnh hưởng của áp lực



H.6. Giá trị ứng suất trong vỏ chống giếng đứng do áp lực đất đá: a - Ứng suất trên thành giếng; b - So sánh các giá trị ứng suất trong kết cấu chống giữ giếng theo hai phương pháp khác nhau

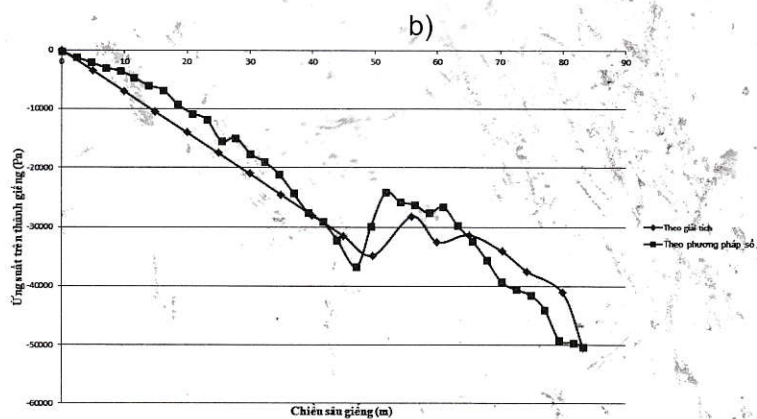
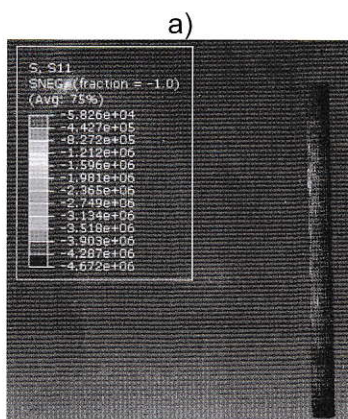
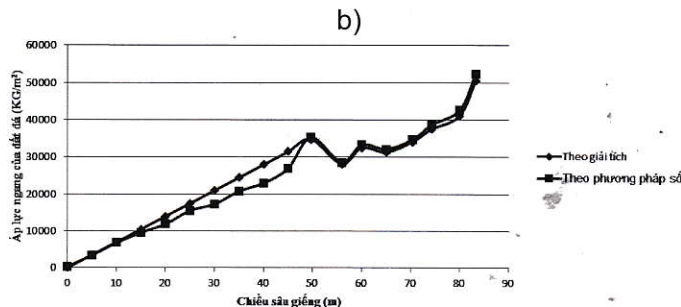
Kết quả so sánh giá trị áp lực và ứng suất xuất hiện trong thành giếng theo phương pháp tính toán giải tích và phương pháp mô phỏng số (H.6.b) cho thấy:

➤ Giá trị tính toán áp lực đất đá xung quanh kết cấu chống giữ giếng đứng theo hai phương pháp giải tích và phương pháp số cho ra kết quả khá phù hợp, tương đồng với nhau;

➤ Giá trị ứng suất xuất hiện trong kết cấu chống giữ thành giếng lớn nhất bằng 60 T/m^2 tại độ sâu 83,3 m nằm qua vỉa than dày 9,0 m;

➤ Sự phân bố áp lực thay đổi theo chiều dài dọc

đất đá xung quanh phía trên. Khi so sánh kết quả khảo sát mô hình mô phỏng số với kết quả tính toán áp lực bên thành giếng trong bài toán Lame, ta thu được kết quả như H.6.



H.7. Kết quả ứng suất đạt được bằng phương pháp số: a - Thành phần ứng suất S_{11} ; b - So sánh các ứng suất đạt được ứng suất trong kết cấu chống giữ giếng theo hai phương pháp khác nhau

Kết quả so sánh trên H.7 cho thấy giá trị ứng suất thu được trong thành giếng bằng phương pháp số và phương pháp giải tích là phù hợp, do đó mô hình xây dựng theo phương pháp mô phỏng số có độ tin cậy và có thể được sử dụng để nghiên cứu giải quyết bài toán.

5. Kết luận

Giếng đứng là công trình quan trọng của mỏ tồn

thân giếng, ngoại trừ tại vị trí 1/3 của thân giếng có sự bước nhảy nhỏ, bước nhảy này là do sự bất ổn định số xảy ra trong mô phỏng.

Khi chiều dài vỏ chống bằng 20 cm, ứng suất nén trong thành giếng được tính như công thức (5) khi $R_1=2,5 \text{ m}$; $R_2=2,7 \text{ m}$; $x=2,7 \text{ m}$, ta tính được các thành phần ứng suất trong vỏ giếng S_{11} . Kết quả so sánh giá trị ứng suất tiếp, ứng suất nén trong kết cấu chống giữ giếng đứng bằng phương pháp giải tích S_{11} với các giá trị đạt được bằng phương pháp số S_{22} được thể hiện trên H.7.

tại trong thời gian dài, độ ổn định của vỏ giếng có ý nghĩa quan trọng trong suốt thời gian tồn tại của mỏ. Bài báo chỉ ra hướng nghiên cứu mới về ảnh hưởng của bãi thải đến độ ổn định của vỏ chống và thành giếng đứng. Kết quả nghiên cứu bước đầu đã xây dựng và kiểm chứng mô hình số mô phỏng ảnh hưởng, đây là cơ sở quan trọng cho các nghiên cứu tiếp theo. Trên đây là những kết quả nghiên cứu đạt được ban đầu về vấn đề này, cần

có những nghiên cứu sâu hơn trong thời gian tới nhằm đáp ứng yêu cầu cấp bách của các mỏ than hầm lò có sử dụng giềng đứng hiện nay. □

TÀI LIỆU THAM KHẢO

1. ABAQUS User's Examples and Theory Manual, Version 6.10, Simulia, Providence 2011.

2. Phạm Huy Khang, Nguyễn Hữu Trí, Đỗ Văn Thái, Nghiên cứu sử dụng vật liệu đất đá thải tại các mỏ than ở Cẩm Phả-Quảng Ninh và khả năng sử dụng chúng trong xây dựng đường ô tô. Tạp chí GTVT, 11/2015.

3. Trần Miên, Nguyễn Tam Tính, Đỗ Mạnh Dũng. Trồng cây phủ xanh bãi thải mỏ vùng than Quảng Ninh. Tạp chí Môi trường, số Chuyên đề III năm 2018.

4. Võ Trọng Hùng. Thi công giềng đứng. Nhà xuất bản Khoa học Tự nhiên và Công nghệ. Hà Nội. 2012. 528 tr.

5. Nguyễn Văn Quyền, Nguyễn Văn Đức. Cơ sở xây dựng công trình ngầm trong mỏ. Giáo trình sinh viên dành cho sinh viên ngoại ngành Mỏ-Địa chất. Hà Nội 1996.

6. Changsuo Zhang, Feng Hu, Steve Zou. 2005. Effects of blast induced vibrations on the fresh concrete lining of a shaft. Tunnelling and Underground Space Technology 20, pp.356-361.

7. M.L. Bucalem, K.J. Bathe. 1997. Finite Element Analysis of Shell Structures. Archives of Computational Methods in Engineering: Vol. 4, 1, pp.3-61.

Ngày nhận bài: 11/03/2018

Ngày gửi phản biện: 16/06/2018

Ngày nhận phản biện: 20/09/2018

Ngày chấp nhận đăng bài: 10/11/2018

Từ khóa: giềng đứng; bãi thải; phương pháp số; phương pháp giải tích; mô hình số; mô phỏng ảnh hưởng; mỏ than hầm lò

SUMMARY

The paper presents the new direction of researching on the effect of back filling at the mine to stability of concrete lining of a shaft. Three-dimensional finite element models were developed to conduct the parametric analyses using the commercial FE package, ABAQUS. The future study on the parameter study will show the effect of distance and width of back filling at the mine around shaft wall to stability of concrete lining of a shaft. The results obtained by this study can be applied to underground mines in Vietnam in the equivalent condition.

Nghiên cứu lực ma sát...

(Tiếp theo trang 43)

thùng trực với vận tốc, khối lượng và tải trọng lớn cần lưu ý đến tải trọng do ma sát và va đập;

➤ Trong lắp đặt và bảo dưỡng đường dẫn cốt giềng cứng, cần đảm bảo sai lệch mặt lăn của các thanh dẫn tại vị trí nối trong phạm vi cho phép, không cùng bố trí hai mối nối đường dẫn phục vụ một thùng trực trên một sàn cốt giềng để giảm lực va đập tác động lên thùng trực;

➤ Đối với thùng trực sử dụng tại Quảng Ninh, khi tính toán có thể không tính đến lực Coriolis. □

TÀI LIỆU THAM KHẢO

1. Tạ Ngọc Hải và nnk (2014). Một số vấn đề về thiết kế chế tạo cốt giềng đứng mỏ than hầm lò. Tuyển tập Hội nghị KHKT Mỏ toàn quốc lần thứ XXIV. Vũng Tàu.

2. Tạ Ngọc Hải và nnk. (2015) Các yếu tố tác động đến khả năng làm việc của cốt giềng đứng hệ thống trực tải mỏ hầm lò, Công nghiệp Mỏ, Số 5-2015. Hà Nội.

3. Tạ Ngọc Hải và nnk. (2016), Phân loại tải trọng tác động lên cốt giềng theo tiêu chuẩn tải trọng và tác động, Thông tin KHCN Mỏ, Số 5-2016, Hà Nội.

4. Võ Trọng Hùng (2012), Thi công giềng đứng, Nhà xuất bản Khoa học Tự nhiên & Công nghệ. Hà Nội.

5. Прокопов Ф.Ю и др.,(2005), Новое решение в проектировании жесткой армировки вертикальных стволов, Новочеркасск.

6. Яблонский А.А., Никифорова В.М. (1966), Курс теоретической механики. Часть I- Статика и кинематика. Изд. Вышая школа. Москва.

7. https://vi.wikipedia.org/wiki/Quảng_Ninh.

Ngày nhận bài: 15/06/2018

Ngày gửi phản biện: 18/08/2018

Ngày nhận phản biện: 20/09/2018

Ngày chấp nhận đăng bài: 10/11/2018

Từ khóa: thiết kế; thùng trực, trực tải mỏ, trực tải giềng đứng ma sát, va đập, lực Coriolis

SUMMARY

The paper presents the research results of friction, impact and Coriolis forces, affecting on conveyances of vertical shaft mine hoist. Based on that, the authors present recommendations in calculating, using, selecting parameters for designing conveyances.